

УДК 677.017.4.072.6.074

## ДИНАМИЧЕСКАЯ УСТОЙЧИВОСТЬ БЕГУНКА В НОВОМ КРУТИЛЬНОМ УСТРОЙСТВЕ

Ю.К. БАРХОТКИН

(Ивановская государственная текстильная академия)

В [1] приведена конструкция и принцип действия нового крутильного устройства, позволяющего значительно повысить производительность кольцевых прядильных и крутильных машин, а также улучшить качество вырабатываемой пряжи. Для оценки надежности и устойчивости работы данного устройства, а также для определения регулировочной и настроечной способности механизма рассмотрим динамику движения бегунка.

Бегунок в новом крутильном устройстве имеет форму торообразного ролика радиусом  $R_p$ , который помещен внутри кольцевой камеры с рабочей торообразной поверхностью (рис.1). Радиус внутренней поверхности кольцевой камеры в точке качения ролика равен  $R_k$ . Внутри кольцевой камеры расположена паковка ( $R_n$  – радиус пустой паковки;  $R_6$  – радиус полной паковки), которая вращается по часовой стрелке (если смотреть с конца шпинделя) с угловой скоростью  $\omega_6$ . Через ролик проведена нить (пряжа), которая (при вращении паковки) заставляет последний катиться по внутренней вертикальной вогнутой поверхности кольцевой камеры и вращаться с собственной угловой скоростью  $\omega_1$  против часовой стрелки (при этом собственная ось ролика вращается по часовой стрелке). Скорость вращения оси ролика в первом приближении можно считать равной  $\omega_6$ .

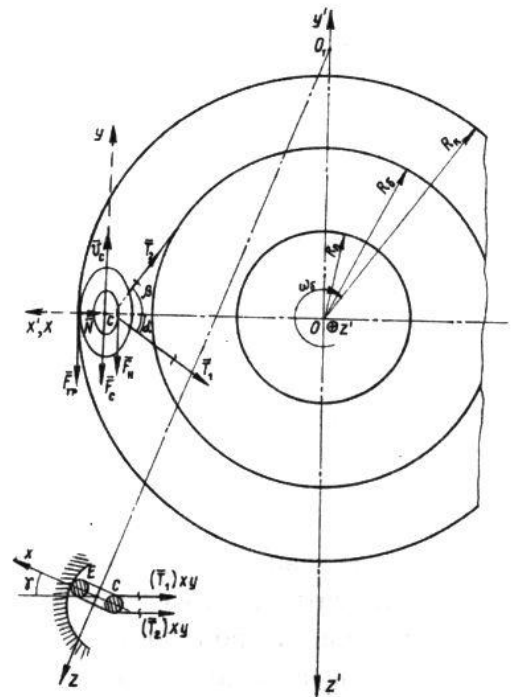


Рис. 1

В [2] рассмотрена динамика плоского движения ролика-бегунка, позволившая в первом приближении определить параметры натяжения нити и необходимую массу бегунка. Однако плоское движение ролика в новом крутильном устройстве не поддерживается никакими направляющими и он имеет пять степеней свободы.

Определим характер движения ролика-бегунка внутри кольцевой камеры. Предположим, что ось ролика  $CZ$  не параллельна оси паковки  $OZ'$ . Появление угла наклона ролика  $\gamma$  вызвано созданием силами  $T_1$  и  $T_2$  вращающего момента ролика

относительно оси  $CX$  в точке контакта  $E$  ролика с кольцевой камерой, который, согласно теореме Резаля, отклонит ось ролика, как быстровращающегося уравновешенного тела, на угол  $\gamma$ .

Таким образом, пересечение осей  $CZ$  и  $OZ'$  в точке  $O'$  позволяет представить движение ролика как вращательное движение твердого тела вокруг неподвижной точки  $O'$ . Тогда абсолютное вращательное движение ролика можно разложить на относительное вращательное движение вокруг собственной оси с угловой скоростью  $\omega_1$  и переносное прецессионное вращение оси ролика  $CZ$  вокруг оси паковки  $OZ'$  с угловой скоростью  $\omega_6$ :

$$\vec{\omega} = \vec{\omega}_1 + \vec{\omega}_6. \quad (1)$$

В то же время вращение ролика, как твердого тела, с одной неподвижной точкой определяется изменением углов Эйлера, как функции времени:

$$\varphi = f_1(t); \Psi = f_2(t); \Theta = f_3(t), \quad (2)$$

где  $\varphi$  – угол собственного вращения ролика;  $\Psi$  – угол прецессии (угол поворота паковки);  $\Theta$  – угол нутации (угол наклона ролика к горизонту  $\gamma$ ).

В нашем случае движение ролика (как свободного тела) ограничивается сферической поверхностью кольцевой камеры, поэтому при условии постоянства внешних сил угол нутации  $\Theta$  (в нашем случае  $\gamma$ ) будет величиной постоянной и зависящей от силовых и инерционных параметров системы.

Движение ролика с постоянной скоростью собственного вращения  $\dot{\varphi} = \omega_1$ , постоянной скоростью прецессии  $\dot{\Psi} = \omega_6$  и постоянным углом нутации  $\Theta = \gamma$  является регулярной прецессией, причем прецессия в нашем случае будет обратной, так как угол между  $\vec{\omega}$  и  $\vec{\omega}_6$  тупой. Кроме того, прецессия будет принудительной и выполняться с высокой скоростью.

Поставим задачу: определить угол нутации  $\gamma$  ролика-бегунка в зависимости от

силовых и инерционных параметров системы.

Рассмотрим переносное движение оси  $CZ$  ролика. Точка  $C$  является центром масс ролика и движется по окружности радиуса  $R = R_k - R_p \cos \gamma$ . Используя формулу Ривальса для точки  $C$ , получим

$$\vec{a}_c = \frac{d\vec{v}_c}{dt} + \vec{\omega}_6 \times \vec{v}_c. \quad (3)$$

Спроектировав (3) с учетом теоремы о движении центра масс, после несложных преобразований получим:

$$\left. \begin{aligned} -\omega_6^2 \cos \gamma (R_k - R_p \cos \gamma) &= \frac{F_x^{(e)}}{M}, \\ -\omega_6^2 \sin \gamma (R_k - R_p \cos \gamma) &= \frac{F_z^{(e)}}{M}, \end{aligned} \right\} (4)$$

где  $\vec{F}^{(e)}$  – главный вектор внешних сил, действующих на ролик;  $M$  – масса ролика.

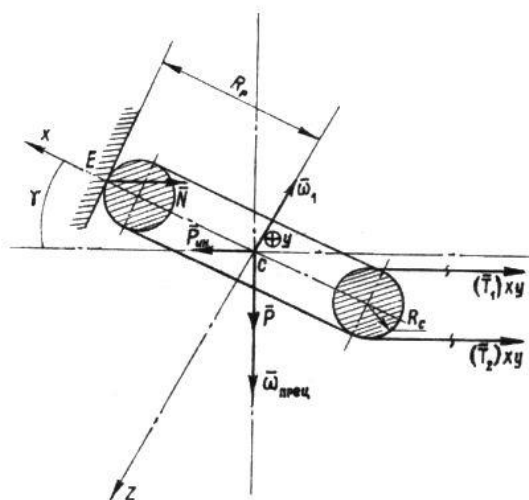


Рис. 2

Рассмотрим движение ролика, как твердого тела (рис.2). Используя уравнения главных моментов количества движения твердого тела относительно координатных осей, а также динамические уравнения Эйлера для твердого тела, вращающегося вокруг неподвижной точки, после несложных преобразований получим уравнения движения ролика в следующем виде:

$$\left. \begin{aligned}
 & -N\cos\gamma - P\sin\gamma - T_2\cos\beta\cos\gamma - T_1\cos\alpha\cos\gamma = -\frac{P}{g}\omega_6^2\cos\gamma(R_K - R_P\cos\gamma), \\
 & T_2\sin\beta - T_1\sin\alpha - F_{\text{тр}} - F_H - F_C = 0, \\
 & -N\sin\gamma + P\cos\gamma - T_2\cos\beta\sin\gamma - T_1\cos\alpha\sin\gamma = -\frac{P}{g}\omega_6^2\sin\gamma(R_K - R_P\cos\gamma), \\
 & T_2\sin\beta\cos\gamma R_C + T_1\sin\alpha\cos\gamma R_C = 0, \\
 & -T_2\cos\beta(R_P\sin\gamma + R_C\cos\gamma) + T_1\cos\alpha(R_P\sin\gamma - R_C\cos\gamma) + NR_C\sin\gamma = \\
 & = \omega_6\sin\gamma(\omega_1 - \omega_6\cos\gamma)(\mathcal{J}_x - \mathcal{J}_z), \\
 & -T_2\sin\beta(R_P - R_C) + T_1\sin\alpha(R_P - R_C) - F_{\text{тр}}R_P + F_H R_P = 0,
 \end{aligned} \right\} (5)$$

где  $N$  – реакция дорожки кольцевой камеры;  $P$  – сила веса ролика;  $F_{\text{тр}}$  – сила трения ролика о камеру;  $F_C$  – сила сопротивления воздуха.

Анализ уравнений системы (5) показывает, что натяжение ветвей нити  $T_1$  и  $T_2$  вызывает вертящий момент внешних активных сил, действующих на ролик вокруг оси  $CX$ . В связи с этим для обеспечения устойчивости ролика этот момент должен быть скомпенсирован гироскопическим инерционным моментом  $m_{\text{сх}}$ .

Определим гироскопический момент, дополнительно возникающий у вращающегося ролика и обеспечивающий регулярную обратную прецессию ролика с постоянным углом нутации  $\gamma = \text{const} \neq 0$ . При решении задач с помощью приближенной теорией гироскопов используем теорему об изменении главного момента количества движения системы материальных точек в ее кинематической интерпретации – теореме Резаля.

Определим проекции вектора кинематического момента на оси  $O_1X$ ,  $O_1Y$ ,  $O_1Z$ , которые являются главными осями инерции для точки  $O_1$  (рис.3):

$$\left. \begin{aligned}
 K_x &= \mathcal{J}_x\omega_x = -\mathcal{J}_x\omega_6\sin\gamma, \\
 K_y &= \mathcal{J}_y\omega_y = 0, \\
 K_z &= \mathcal{J}_z\omega_z = -\mathcal{J}_z(\omega_1 - \omega_6\cos\gamma).
 \end{aligned} \right\} (6)$$

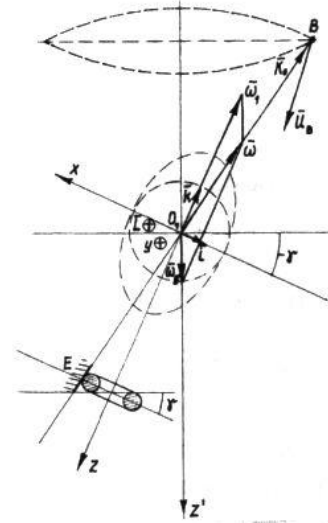


Рис. 3

Тогда кинематический момент ролика, как гироскопа, относительно неподвижной точки  $O_1$ , равен

$$\begin{aligned}
 \vec{K}_0 &= K_x \vec{i} + K_y \vec{j} + K_z \vec{k} = \\
 &= -\mathcal{J}_x\omega_6\sin\gamma \vec{i} - \mathcal{J}_z(\omega_1 - \omega_6\cos\gamma)\vec{k}, \quad (7)
 \end{aligned}$$

где  $\vec{i}$ ,  $\vec{j}$ ,  $\vec{k}$  – единичные векторы кинематического момента.

При регулярной прецессии  $\omega_1 = \text{const}$ ,  $\omega_6 = \text{const}$ ,  $\gamma = \text{const}$ , следовательно,  $K_x = \text{const}$ ,  $K_y = 0$ ,  $K_z = \text{const}$ , то есть вектор кинематического момента  $\vec{K}_0$  постоянен по модулю и изменяется только по направлению. Для того, чтобы найти скорость конца этого вектора (точка  $B$ ) (рис.3), нужно знать скорость вращения этого вектора вокруг неподвижной точки  $O_1$ . По

формуле, аналогичной формуле Эйлера, для скорости точки тела при его сферическом движении

$$\vec{U}_B = \vec{\omega}_6 \times \vec{K}_O \quad (8)$$

получим

$$\vec{L} = -\vec{U}_B = -\vec{\omega}_6 \times \vec{K}_O = \vec{K}_O \times \vec{\omega}_6 \quad (9)$$

Из формулы (9) следует, что момент  $\vec{L}$  перпендикулярен плоскости  $O_1XZ$ , в которой лежат векторы  $\vec{\omega}_6$  и  $\vec{K}_O$  и, следовательно, параллелен оси  $O_1Y$ , совпадающей с линией узлов. Таким образом, после несложных преобразований получим векторное уравнение гироскопического момента ролика в виде:

$$T_2 \sin \beta \cos \gamma R_c + T_1 \sin \alpha \cos \gamma R_c = \mathcal{J}_x \omega_6^2 \sin^2 \gamma + \mathcal{J}_z \omega_6 \omega_1 \cos \gamma - \mathcal{J}_z \omega_6^2 \cos^2 \gamma, \quad (11)$$

$$\begin{aligned} & -T_2 \cos \beta (R_p \sin \gamma + R_c \cos \gamma) + T_1 \cos \alpha (R_p \sin \gamma - R_c \cos \gamma) + \\ & + NR_c \sin \gamma = \omega_6 \sin \gamma (\omega_1 - \omega_6 \cos \gamma) (\mathcal{J}_x - \mathcal{J}_z) - \\ & - \mathcal{J}_x \omega_6^2 \sin^2 \gamma - \mathcal{J}_z \omega_6 \omega_1 \cos \gamma + \mathcal{J}_z \omega_6^2 \cos^2 \gamma. \end{aligned} \quad (12)$$

Полученная система уравнений (5), (11) и (12) описывает сложное движение ролика-бегунка внутри кольцевой камеры нового крутильного устройства и учитывает все возможные степени его движения. Анализ этих уравнений позволяет определить условие устойчивого движения бегунка, угол его наклона, необходимую массу и момент инерции, силу нормального давления и необходимую силу трения скольжения, а также другие параметры. Следовательно, использование полученных уравнений позволяет грамотно конструировать такое и подобные ему устройства, обеспечивающие устойчивое качение ролика-бегунка внутри кольцевой камеры и условие контакта в одной точке качения, что резко уменьшает износ бегунка и кольцевой камеры и позволяет увеличить производительность кольцевой прядильной машины.

$$\begin{aligned} \vec{L} = & (-\mathcal{J}_x \omega_6 \sin^2 \gamma - \mathcal{J}_z \omega_1 \cos \gamma + \\ & + \mathcal{J}_z \omega_6 \cos^2 \gamma) (\vec{\omega}_1^0 \times \vec{\omega}_6), \end{aligned} \quad (10)$$

где  $\vec{\omega}_1^0 = \vec{k}$  – единичный вектор.

Таким образом, используя принцип Даламбера  $\vec{L} + \vec{L}^{(e)} = 0$ , можно утверждать, что гироскопический момент будет дополнительно приложен к ролику и стремиться уменьшить угол  $\gamma$ . Кроме того, гироскопический момент будет противодействовать усилиям  $T_1$  и  $T_2$ , которые стремятся повернуть ролик вокруг оси  $OX$ .

Таким образом, в системе (5) уравнения (4) и (5) (соответственно) будут иметь вид:

## ВЫВОДЫ

Анализ полученных уравнений динамического равновесия ролика-бегунка доказывает возможность устойчивой работы нового механизма кручения с одной точкой касания в широком диапазоне скоростей, причем его устойчивость возрастает с ростом частоты вращения веретена.

## ЛИТЕРАТУРА

1. Бархоткин Ю.К., Павлов Ю.В. // Изв.вузов. Технология текстильной промышленности. – 2004, № 1. С.29...32.
2. Бархоткин Ю.К. // Изв.вузов. Технология текстильной промышленности. – 2004, № 3. С.28...31.

Рекомендована кафедрой прядения. Поступила 06.02.04.